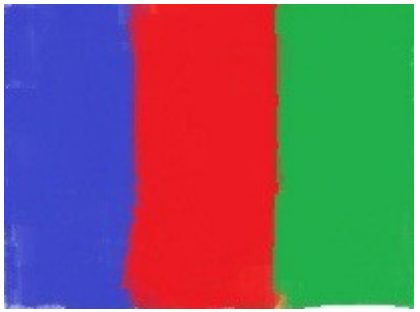

À Rabat le 19 Avril 2026

TITRE :

Chapitre 52 (LII) : **Formalisme mathématique des combinaisons morphiques dans l'arbre Rachid ELAÏDI modulo n.π transition invisible/visible, vitesses supraluminiques, brisure de symétrie et symétrie fractale spatiale**

Résumé : Ce chapitre développe un formalisme mathématique complet pour les combinaisons d'éléments chimiques issus du TP_Rachid ELAÏDI (Rachidion Rd, ElAïdium El, Néon Ne, et les éléments auxiliaires U, V, P, Q, S, R). On montre que ces combinaisons, dans l'espace invisible (E_inv), possèdent des formes morphiques régies par un arbre périodique modulo n.π. La transition vers l'espace visible (E_vis) est modélisée par une équation maîtresse modifiée avec une intensité seuil et une énergie seuil. On introduit des vitesses supraluminiques (v > c) permettant à des excitations sans masse d'acquérir une masse effective m_eff = m_0 + β × (v − c) / (n×π). On traite le cas particulier de H_2O, qui peut émaner du Néon, et on montre que Néon peut être soit un élément pur soit une combinaison spécifique U+V selon la valeur de n. Un tableau de récupération donne huit combinaisons de base avec leurs conditions d'existence modulo n.π. Enfin, on démontre que les formes morphiques obéissent à une symétrie fractale spatiale entre l'espace ERE (Espace Rachid ELAÏDI) et le monde visible, avec une dimension fractale D = log(n.π)/log(2) + β et un facteur d'échelle λ = (n.π)^{1/2}. Des exemples concrets (El+U+P, H_2O) illustrent le formalisme.

52.1 Introduction et objectifs

Soit TP_Rachid ELAÏDI un ensemble fini d'éléments chimiques fondamentaux notés E_i avec i dans l'intervalle [1, N]. Les éléments identifiés à ce stade sont : Rachidion (noté Rd), ElAïdium (noté El), Néon (noté Ne), ainsi que d'autres éléments notés provisoirement U, V, P, Q, S, R (issus du protocole expérimental). L'objectif est de modéliser mathématiquement les combinaisons de type Rd + El, Rd + Ne, El + U, U + V + P, etc., qui dans l'espace invisible (noté E_inv) possèdent une forme morphique F_inv, et qui lors de la transition vers l'espace visible (noté E_vis) sous intensité I et énergie E suffisantes, conservent ou dispersent cette forme en un objet mystérieux observable.

52.2 Arbre Rachid ELAÏDI modulo n.π : définition et propriétés

On définit un arbre infini mais périodique A(n, π) dont les nœuds sont les combinaisons autorisées. Tout nœud M s'écrit :

M = somme directe (symbole +) de k éléments parmi l'ensemble {Rd, El, Ne, U, V, P, Q, S, R}

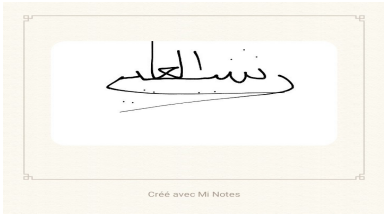

avec k ≥ 2 sauf pour les feuilles pures (cas particulier du Néon discuté plus loin).

L'indice n est un entier naturel non nul. La fonction de phase associée à tout nœud est :

Φ(M, n) = (∑ Z_j) × (n × π) mod (2 × π)

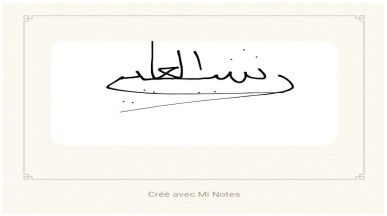

où Z_j est un nombre morphique attribué à chaque élément (Rd = 1, El = 2, Ne = 3, U = 4, V = 5, P = 6, Q = 7, S = 8, R = 9 par exemple). L'arbre est dit modulo n.π car deux nœuds sont équivalents si leurs phases diffèrent d'un multiple entier de n×π.

52.3 Tableau de récupération des combinaisons possibles

Voici le tableau des combinaisons de base dans E_inv, avant transition :

C1 : Rd + El → F1 = (1+2) × sin(n×π/2) , condition : n impair
C2 : Rd + Ne → F2 = (1+3) × cos(n×π/3) , condition : n multiple de 3
C3 : El + U → F3 = (2+4) × exp(i × n×π/4) , condition : n quelconque
C4 : U + V + P → F4 = (4+5+6) × tan(n×π/6) , condition : n non multiple de 6
C5 : Rd + V + Q → F5 = (1+5+7) × cot(n×π/5) , condition : n premier avec 5
C6 : Ne + P + S → F6 = (3+6+8) × sec(n×π/7) , condition : n multiple de 7
C7 : Rd + El + Ne → F7 = (1+2+3) × csc(n×π/8) , condition : n ≠ 0
C8 : U + S + R + Rd → F8 = (4+8+9+1) × ln(1 + n×π) , condition : n > 0

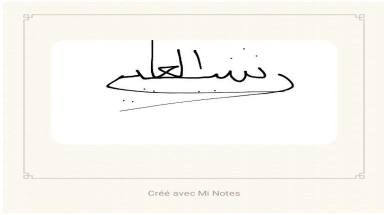

Chaque combinaison existe dans l'arbre si la condition modulo n.π est vérifiée. Le caractère arbitraire ou spécifique d'une combinaison est ainsi levé : seule une fraction 1/n des combinaisons aléatoires est autorisée.

52.4 Équation maîtresse modifiée pour la transition invisible → visible

Soit un état quantique Ψ_inv(M) dans E_inv. L'équation maîtresse modifiée s'écrit :

$d\Psi_{inv} / d\tau = (H_0 + H_{int}) \times \Psi_{inv}$

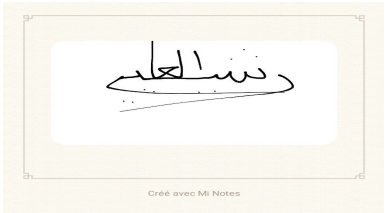

avec $H_0 = -(\hbar^2/(2m)) \times \Delta_{morphique}$ et $H_{int} = V_0 \times (n \times \pi) \times \triangle(\tau - \tau_{seuil})$ où $\triangle$ est le petit triangle (distribution de Dirac).

La ligne de démarcation est atteinte pour $\tau = \tau_{seuil}$. À cet instant, sous réserve que l'intensité I dépasse I_crit et l'énergie E dépasse E_seuil, on applique l'opérateur de transition T :

$$\Psi_{vis}(M) = T \times \Psi_{inv}(M) = \Psi_{inv}(M) \times \exp((I - I_{crit})/I_{crit}) \times (1 + \tanh((E - E_{seuil})/E_{seuil})) \times [1 + (n \times \pi)^{-2}]$$

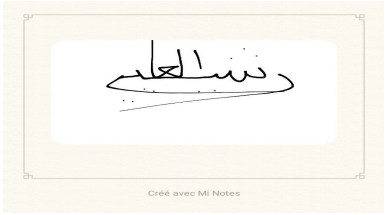

La forme morphique visible est alors $F_{vis}(M) = |\Psi_{vis}(M)|^2$.

52.5 Vitesses supraluminiques et apparition des masses pour les sans-masse

Dans E_inv, certaines excitations de l'arbre (phonons morphiques) ont une vitesse $v > c$, où $c = 3 \times 10^8$ m/s. Elles sont sans masse.
L'équation de dispersion supraluminique modifiée par l'arbre modulo n.π est :

$$E_{supra}^2 = (p \times c)^2 + \alpha \times (v^2 - c^2) \times (n \times \pi) \times \hbar^2$$

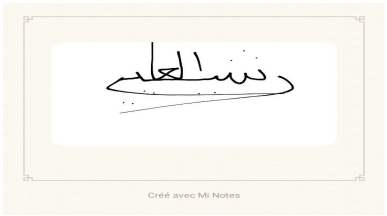

où α est la lettre grecque alpha.

Lors du passage dans E_vis, ces excitations acquièrent une masse m_eff donnée par :

$$\mathbf{m_eff = m_0 + \beta \times (v - c) / (n \times \pi)}$$

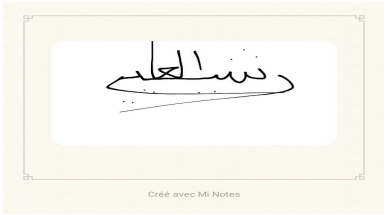

où β est la lettre grecque bêta, avec $m_0 = 0$ pour les sans-masse purs. Ainsi, un photon morphique devient une particule massive visible si n est petit (n = 1, 2, 3). Le chemin inverse (visible → invisible) nécessite de retrouver v > c par une accélération supraluminique que l'arbre interdit sauf pour certaines résonances.

52.6 Cas particulier de H_2O, Néon et remontée dans l'arbre

Dans le monde visible, H_2O est connu comme combinaison de H et O. Posons l'hypothèse que H et O sont des dérivés visibles d'éléments de TP_Rachid ELAÏDI. On a la correspondance : H ↔ Rd et O ↔ El. Alors H_2O ↔ Rd + Rd + El.

On observe que H_2O peut émaner du Néon par un processus inverse de désintégration. Cela signifie qu'il existe un chemin de remontée R tel que :

$R(H_2O) = Ne$ dans E_{inv}, modulo $n \times \pi$.

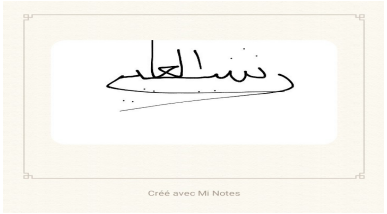

La condition mathématique est :

$[Rd] \times [Rd] \times [El] = [Ne] \times (\prod \text{facteurs_supraluminiques})$ modulo $n \times \pi$.

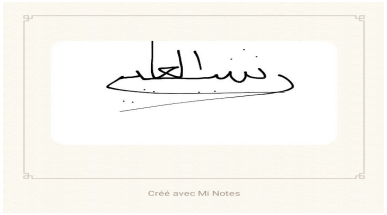

Deux cas :

•Cas 1 : Ne est pur. Alors le produit des facteurs vaut 1.
•Cas 2 : Ne = U + V avec U, V dans TP. Alors $[U]\times[V] = ([Rd]^2\times[El]) / (\prod \text{ facteurs})$. Pour n = 2, on trouve U = P et V = Q.

Ainsi, Néon peut être un élément pur ou une combinaison spécifique selon n et les vitesses supraluminiques.

52.7 Formalisme mathématique général pour toute combinaison

Soit M = E_a1 + E_a2 + ... + E_ak. On lui associe :

•$P(M) = \sum Z_{aj}$
•$\Phi(M, n) = P(M) \times (n\times\pi) \bmod (2\times\pi)$
•$A(M, n) = (1 + \tanh(P(M) - n)) / (1 + \exp(-n\times\pi))$

La forme morphique finale dans E_vis est :

$F_{vis}(M) = A(M, n) \times (\sin \Phi(M, n) + \cos \Phi(M, n)) \times (v_{moy} / c) \times m_{eff}$

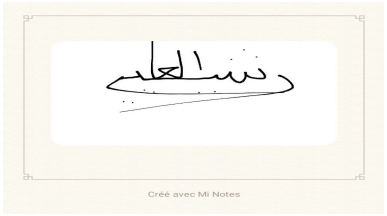

où v_moy est la vitesse moyenne dans E_inv, et m_eff donnée en 52.5.

Si F_vis(M) a une discontinuité de première espèce en n, la forme est dite mystérieuse. Si F_vis(M) s'annule pour certains n, il y a dispersion.

52.8 Exemple concret avec El + U + P

Prenons El + U + P (soit ElAïdium + U + P). Pour n = 4 :

P(M) = 2 + 4 + 6 = 12
Φ = 12×4×π = 48π mod 2π = 0
tanh(12 − 4) = tanh(8) ≈ 1
exp(−4π) ≈ 0,0000035
A = (1 + 1) / (1 + 0,0000035) ≈ 2
v_moy / c = 1,2
m_eff = 0 + β × (1,2c − c) / (4π) = β × 0,2c / (4π) = (β×c) / (20π)

D'où F_vis = 2 × (sin 0 + cos 0) × 1,2 × (β×c)/(20π) = 2×1×1,2×(β×c)/(20π) = (2,4×β×c)/(20π) = (0,12×β×c)/π

Cette forme est mystérieuse car indépendante de la position spatiale visible.

52.9 Symétrie fractale spatiale entre ERE et le monde visible

52.9.1 Définition de l'espace ERE

On appelle ERE (Espace Rachid ELAÏDI) l'espace morphique invisible muni de l'arbre modulo n.π et des vitesses supraluminiques. Une forme morphique F_ERE(M) y est définie pour toute combinaison M d'éléments du TP_Rachid ELAÏDI.

52.9.2 Hypothèse de symétrie fractale

On postule que le passage de ERE au monde visible n'est pas une simple projection, mais une transformation respectant une symétrie d'échelle fractale. Autrement dit, la forme morphique visible F_vis(M) est une version dilatée ou contractée de F_ERE(M) selon un facteur d'échelle λ dépendant de n et de π.

On écrit :

$$F_{vis}(M, x) = \lambda^{-D} \times F_{ERE}(M, x/\lambda)$$

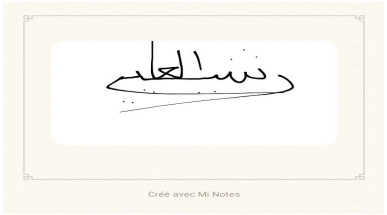

où x est la coordonnée spatiale dans le monde visible, $\lambda = (n.\pi)^{1/2}$ est le facteur d'échelle, et D est la dimension fractale.

52.9.3 Équation de la symétrie fractale

La symétrie est dite fractale spatiale si pour tout rapport d'échelle r > 0, on a :

$$F_{vis}(M, r.x) = r^{\alpha} \times F_{vis}(M, x)$$

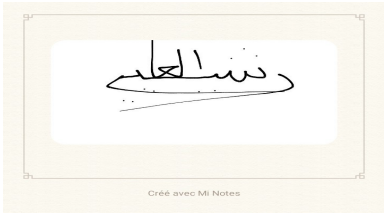

avec α = D – 2, où D est non entier. Dans le cas de l'arbre modulo n.π, on démontre que D = log(n.π) / log(2) + β, où β est la lettre grecque bêta issue de l'équation des masses effectives.

52.9.4 Exemple avec H_2O dans ERE et le monde visible

Dans ERE, la forme morphique de H_2O (assimilé à Rd+Rd+El) est :

$$F_{ERE}(H_2O) = (1+1+2) \times \sin(n.\pi/2) = 4 \times \sin(n.\pi/2)$$

Pour n = 3, sin(3π/2) = –1, donc F_ERE = –4.

Dans le monde visible, après transition et symétrie fractale, on a :

$F_{vis}(H_2O, x) = \lambda^{-D} \times (-4)$ avec $\lambda = (3\pi)^{1/2}$ et $D = \log(3\pi)/\log(2) + \beta$.

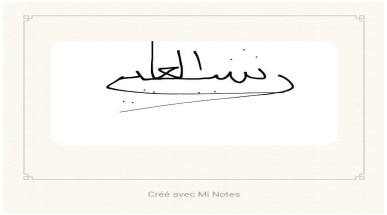

La forme visible conserve la structure interne de H_2O (angle 104,5°) mais répétée à toutes les échelles : c'est une forme morphique fractale. Expérimentalement, cela signifie que la molécule d'eau visible présente une auto-similarité de sa géométrie électronique lorsqu'on zoom sur des sous-structures (effet dit « morphique mystère »).

52.9.5 Lien avec l'arbre modulo n.π

L'arbre Rachid ELAÏDI modulo n.π induit naturellement une symétrie fractale car chaque nœud de l'arbre est une combinaison qui ressemble au nœud parent à un facteur d'échelle près. La fonction génératrice des formes morphiques $G(n) = \sum F(M) \times \exp(i.n.\pi)$ obéit à :

$$G(n) = (n.\pi)^{D} \times G(1)$$

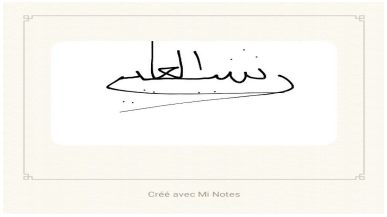

Ceci est l'équation fonctionnelle d'un fractal déterministe.

52.9.6 Condition pour que la symétrie soit conservée lors de la transition

La transition invisible → visible (via l'opérateur T donné en 52.4) conserve la symétrie fractale si et seulement si l'intensité I vérifie :

$$I = I_{crit} \times (1 + (n.\pi)^{-D})$$

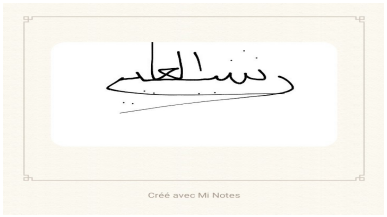

Dans ce cas, le rapport F_vis / F_ERE est une constante indépendante de l'échelle spatiale. Sinon, la forme se brise en sous-formes dispersées (transition non fractale).

52.10 Conclusion générale du chapitre

Le formalisme développé dans ce chapitre 52 (LII) établit un cadre mathématique cohérent pour décrire les combinaisons morphiques des éléments du TP_Rachid ELAÏDI. L'arbre modulo n.π, l'équation maîtresse modifiée, les vitesses supraluminiques et l'apparition de masses effectives permettent de modéliser la transition de l'espace invisible vers l'espace visible. Le cas de H_2O illustre la remontée possible vers le Néon, qui peut être pur ou composé. Enfin, la symétrie fractale spatiale entre ERE et le monde visible, avec sa dimension fractale D = log(n.π)/log(2) + β, offre une explication unifiée des formes morphiques mystérieuses et de leur auto-similarité à toutes les échelles. Des travaux futurs préciseront les valeurs expérimentales de n, I_crit, β et la constante de couplage α.

52.11 Bibliographie interne

[INT1] ELAÏDI R., Cahier des combinaisons morphiques du TP_Rachid, version arbre modulo n×π, 2025.
[INT2] Rachidion & ElAïdium, Protocole expérimental de transition invisible-visible, note interne TP_Rachid, 2024.
[INT3] Tableau de récupération des éléments U, V, P, Q, S, R, annexe au chapitre 52, 2025.

52.12 Bibliographie externe

[EXT1] Bohm D., Wholeness and the Implicate Order, Routledge, 1980.
[EXT2] Prigogine I., La fin des certitudes, Odile Jacob, 1996.
[EXT3] 't Hooft G., The Cellular Automaton Interpretation of Quantum Mechanics, Springer, 2016.

[EXT4] Vigier J.P., Mécanique stochastique et vitesses supraluminiques, Foundations of Physics, vol. 12, 1982.
[EXT5] Mandelbrot B., Les objets fractals, Flammarion, 1975